

Р А Д И О Т Е Х Н И К А
1987, № 2

А. П. Трифонов, Т. М. Овчинникова

УДК 621.396.22.039

Предельная точность оценки параметра оптического сигнала

Найдены вторые приближения смещения и дисперсии оценки в результате решения уравнения правдоподобия методом малого параметра. Рассчитаны характеристики оценок временного положения и длительности оптического импульса.

Оценка максимального правдоподобия (ОМП) параметра оптического сигнала рассматривалась в [1—3 и др.]. В этих работах в качестве дисперсии ОМП фактически принималась дисперсия эффективной оценки. В связи с этим возникает вопрос, насколько близка полученная таким образом дисперсия оценки к истинному ее значению в зависимости от отношения сигнал-шум, времени наблюдения, вида сигнала и характера оцениваемого параметра.

Считаем, что на интервале времени $[-T/2; T/2]$ наблюдается реализация пуассонского процесса $\xi(t)$ с интенсивностью $\lambda(t, l) = \lambda_s(t, l) + \lambda_N$, где λ_N — постоянная интенсивность фона; $\lambda_s(t, l)$ — интенсивность полезного оптического сигнала, зависящая от неизвестного параметра l , подлежащего оценке. Для получения ОМП приемник должен вырабатывать логарифм функционала отношения правдоподобия (ЛФОП)

$$[4] \quad L(l) = \int_{-T/2}^{T/2} \ln [1 + \lambda_s(t, l) / \lambda_N] d\xi(t) - \int_{-T/2}^{T/2} \lambda_s(t, l) dt. \quad \text{Согласно [5] ОМП } \hat{l} \text{ определяется из решения уравнения правдоподобия}$$

$$[dL(l)/dl]_{\hat{l}} = 0. \quad (1)$$

Поскольку параметр l , как правило, является аргументом трансцендентной функции, получить точное решение (1) не представляется возможным. Поэтому, полагая в дальнейшем, что оценка обладает высокой апостериорной точностью, находим приближенное решение (1) методом малого параметра. Считаем, что ЛФОП обладает необходимым числом непрерывных в среднеквадратическом производных,

Представим ЛФОП в виде суммы двух составляющих [5]:

$$L(l) = S_m[S(l, l_0) + \varepsilon N(l)], \quad (2)$$

где $S_m = \langle L(l_0) \rangle$; $S(l, l_0) = \langle L(l) \rangle$ — нормированная сигнальная, а $N(l) = [L(l) - \langle L(l) \rangle] \sigma_N^{-1}$ — нормированная шумовая функции; $\sigma^2_N = \langle [L(l_0) - \langle L(l_0) \rangle]^2 \rangle$ — дисперсия ЛФОП, $\varepsilon = z^{-1}$; $z^2 = S_m^2 / \sigma^2_N$ — отношение сигнал-шум на выходе приемника, а l_0 — истинное значение оцениваемого параметра. При этом $\max S(l, l_0) = S(l_0, l_0) = \langle N^2(l_0) \rangle = 1$, а ε при больших отношениях сигнал-шум является малым параметром.

Подставляя (2) в (1), получаем уравнение

$$[dS(l, l_0)/dl + \varepsilon dN(l)/dl]_{\hat{l}} = 0. \quad (3)$$

Решение (3) находим в виде ряда по степеням ε [5]:

$$\hat{l} = l_0 + \varepsilon l_1 + \varepsilon^2 l_2 + \varepsilon^3 l_3 + \dots \quad (4)$$

Ограничимся определением вторых приближений для смещения и дисперсии [5]. Поэтому в (4) учитываем только члены ряда, содержащие в степени не выше третьей.

Разложим функцию в скобках в левой части (3) в ряд Тейлора по l в окрестности точки l_0 и подставим в него \hat{l} из (4). Приравнивая нуль коэффициенты при ε в одинаковых степенях, получаем систему уравнений, решая которую находим явные выражения для l_1, l_2, l_3 , совпадающие по своему виду с аналогичными формулами в [5]. Однако использовать результаты [5] для расчета смещения и дисперсии ОМП параметра оптического сигнала нельзя, так как нормированная шумовая функция $N(l)$ в (2) и (3) является негауссовским случайнм процессом. Поэтому для усреднения в выражении для смещения и дисперсии [5] необходимо найти первые четыре момента нормированной шумовой функции. С этой целью введем в рассмотрение общенную случайную функцию

$$\xi'(t) dt = d\xi(t) - \langle d\xi(t) \rangle. \quad (5)$$

Тогда нормированную шумовую функцию перепишем как

$$N(l) = \int_{-T/2}^{T/2} \psi(t, l) \xi'(t) dt, \quad \psi(t, l) = \sigma_N^{-1} \ln [1 + \lambda_s(t, l)/\lambda_N]. \quad (6)$$

Используя (6), а также значения моментов процесса (5), приведенные в [6], находим

$$\begin{aligned} \langle N(l) \rangle &= 0, \quad \langle N(l_1) N(l_2) \rangle = \int_{-T/2}^{T/2} \psi(t, l_1) \psi(t, l_2) \lambda(t, l_0) dt, \\ \langle N(l_1) N(l_2) N(l_3) \rangle &= \int_{-T/2}^{T/2} \psi(t, l_1) \psi(t, l_2) \psi(t, l_3) \lambda(t, l_0) dt, \\ \langle N(l_1) N(l_2) N(l_3) N(l_4) \rangle &= \int_{-T/2}^{T/2} \psi(t, l_1) \psi(t, l_2) \psi(t, l_3) \psi(t, l_4) \lambda(t, l_0) dt + \\ &+ \langle N(l_1) N(l_2) \rangle \langle N(l_3) N(l_4) \rangle + \langle N(l_1) N(l_4) \rangle \langle N(l_2) N(l_3) \rangle + \\ &+ \langle N(l_1) N(l_3) \rangle \langle N(l_2) N(l_4) \rangle. \end{aligned} \quad (7)$$

Используя (7) и [5], получаем для условных смещения и дисперсии ОМП параметра оптического сигнала

$$\begin{aligned} b(\hat{l} | l_0) &= \langle (\hat{l} - l_0) \rangle = -\beta^2 I(\alpha \lambda_2)/2 + \beta^3 I(2\alpha^4 \lambda_1 - 7\alpha^3 \lambda_2/2 + \alpha^2 \lambda_3/2 + \alpha \lambda_2^2 \lambda_0^{-1}) + \\ &+ \beta^4 [I(9\alpha \lambda_2) I(\alpha^3 \lambda_1 - \alpha^2 \lambda_2)/2 - I(\alpha^2 \lambda_1) I(\alpha^3 \lambda_1 - 13\alpha^2 \lambda_2/3 + \alpha \lambda_3/3)] + \\ &+ \beta^5 I(\alpha^2 \lambda_1/2) I^2(2\alpha^2 \lambda_1 - 3\alpha \lambda_2), \end{aligned} \quad (8)$$

$$\begin{aligned} D(\hat{l} | l_0) &= \langle (\hat{l} - l_0)^2 \rangle = \beta + \beta^3 I(\alpha^3 \lambda_1 - \alpha^2 \lambda_2 - \alpha \lambda_3) + \beta^4 [7I^2(\alpha \lambda_1/2) - \\ &- I^2(\alpha^2 \lambda_1) + I(5\alpha^5 \lambda_1 - 9\alpha^4 \lambda_2 + \alpha^3 \lambda_3 \lambda_0^{-1} + 3\alpha^2 \lambda_2^2 \lambda_0^{-1})] - \beta^5 [4I(\alpha^4 \lambda_1 - \\ &- \alpha^3 \lambda_2) I(2\alpha^2 \lambda_1 - 3\alpha \lambda_2) + I(\alpha^3 \lambda_1) I(2\alpha^3 \lambda_1 - 4\alpha^2 \lambda_2 + 4\alpha \lambda_3/3 + \lambda_2^2 \lambda_0^{-1})] + \\ &+ 5\beta^6 I(\alpha^3 \lambda_1) I^2(\alpha^2 \lambda_1 - 3\alpha \lambda_2/2). \end{aligned} \quad (9)$$

Здесь

$$I(f) = \int_{-T/2}^{T/2} f(t) dt; \quad \lambda_0 \equiv \lambda(t, l_0); \quad \beta = \left\{ \int_{-T/2}^{T/2} [\partial \lambda(t, l) / \partial l]^2 \lambda^{-1}(t, l) dt \right\}_{l_0}^{-1};$$

$$\lambda_k \equiv [\partial^k \lambda(t, l) / \partial l^k]_{l_0}; \quad \alpha \equiv [(\partial \lambda(t, l) / \partial l) / \lambda(t, l)]_{l_0};$$

Относительная погрешность полученных формул имеет порядок $\varepsilon^3 = z^{-3}$. Если ограничиться первым приближением, т. е. считать допустимой относительную погрешность порядка $\varepsilon = z^{-1}$ и отбросить в (4) члены, содержащие ε в степени выше первой, то полученные выражения совпадут с известными [1—3 и др.].

Для иллюстрации найдем характеристики ОМП параметров оптического сигнала с интенсивностью в форме лоренцевской кривой:

$$\lambda_s(t, l) = \lambda_0 [1 + (t - \tau)^2 / \gamma^2]^{-1}. \quad (10)$$

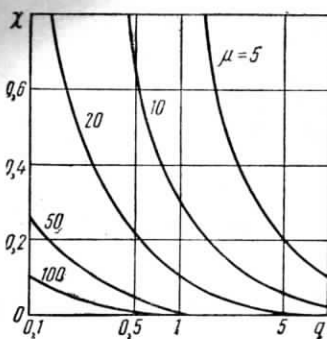


Рис. 1

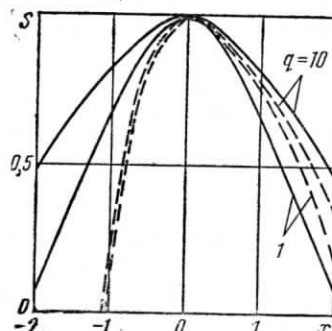


Рис. 2

Параметр τ определяет временное положение импульса, а γ — его длительность. Для сигнала (10) были рассчитаны вторые приближения характеристик ОМП параметров τ и γ согласно (8), (9), а также первое приближение по [1—3]. Оценка временного положения τ оказывается несмещенной и во втором приближении. Однако ОМП длительности γ , являясь несмещенной в первом приближении, во втором оказалась смещенной.

На рис. 1 приведены зависимости относительного смещения $\chi = b(\gamma/\gamma_0)/\gamma_0$ от отношения сигнал-фон $q = \lambda_0/\lambda_N$ для различных значений параметра $\mu = \lambda_0\gamma_0$. Согласно рис. 1 при не слишком больших значениях μ и q смещение ОМП длительности сигнала (10) может быть значительным и достигать 30...40 % длительности импульса.

На рис. 2 сплошной линией показана нормированная сигнальная функция $S(\tau, \tau_0) = S[(\tau - \tau_0)/\gamma_0] = S_1[x]$ при оценке временного положения сигнала (10), а штриховой линией — $S(y, y_0) = S[(y - y_0)/\gamma_0] = S_2[x]$ при оценке его длительности. Как и при приеме сигнала на фоне гауссовского шума [5], появление смещения оценки во втором приближении связано с асимметрией сигнальной функции относительно истинного значения оцениваемого параметра.

На рис. 3 приведены зависимости $\delta_1(q) = [D(\hat{l})|l_0] - D_E(l_0)] D_E^{-1}(l_0)$ относительного отклонения дисперсии ОМП от дисперсии эффективной оценки $D_E(l_0) = \beta$ [1—3]. Сплошными кривыми нанесены зависимости $\delta_\tau(q)$ для ОМП временного положения сигнала (10), а штриховыми — $\delta_T(q)$ для ОМП длительности. Кривые рис. 3 показывают, что при не слишком больших значениях μ и q дисперсия ОМП может заметно превосходить дисперсию эффективной оценки. Тем не менее с ростом μ и q дисперсия ОМП сходится к дисперсии эффективной оценки. Полученные здесь выражения позволяют оценить скорость этой сходимости и тем самым определить границы применимости известных формул [1—3 и др.] для характеристик ОМП.

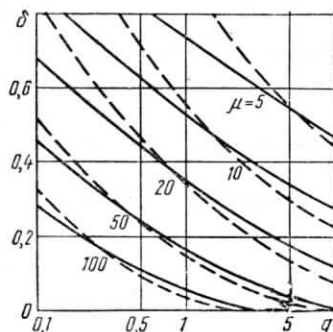


Рис. 3

Список литературы

1. Бакут П. А. и др. Проблемы передачи информации, 1966, т. 2, № 4.

2. Волохатюк В. А., Кочетков В. М., Красовский Р. Р. Вопросы оптической локации. — М.: Сов. радио, 1971.

3. Гальярди Р. М., Карп Ш. Оптическая связь. — М.: Связь, 1978.

4. Большаков И. А., Ракошиц В. С. Прикладная теория случайных потоков. — М.: Сов. радио, 1978.

5. Куликов Е. И., Трифонов А. П. Оценка параметров сигналов на фоне помех. — М.: Сов. радио, 1978.

6. Стратонович Р. Л. Избранные вопросы теории флуктуаций в радиотехнике. — М.: Сов. радио, 1961.

Поступила после доработки 26 июня 1986 г.